端齿盘磨床砂轮架滑座的有限元分析

王 伟1 任春喜2 李 刚2

(1. 西安航天动力试验技术研究所 陕西 西安 710100;

2. 陕西秦川机床工具集团有限公司 秦川发展技术研究院 陕西 宝鸡 721009)

摘 要: 针对端齿盘的加工,研发了高精度数控直齿端齿盘磨床。采用 ANSYS 软件分析了其砂轮主轴滑座的动、静态力学特性, 验证了设计的可靠性。同时也找出了结构的相对薄弱环节, 为滑座结构优化设计提供了技术支持。

关键词: 磨床; 滑座; ANSYS; 静力特性; 动力特性

中图分类号: TH122

文献标志码: A

文章编号: 1007-4414(2013) 01-0027-02

Finite element analysis for terminal gear grinder wheel rack slide

Wang Wei¹, Ren Chun-xi², Li Gang²

(1. Xi'an aerospace power experimental institute of technology, xi'an Shanxi 710010 China;

2. Shanxi Qinchuan machine tool and tool group Co. Ltd , Institute of Qinchuan advanced technology , Baoji Shanxi 721009 , China) Abstract: For the processing of terminal gear , high precision CNC straight teeth terminal gear grinder is researched. Using the software of ANSYS , the static and dynamic characteristics of the wheel spindle slide are analyzed. The reliability of the design is verified. At the same time , the weak links of the structure are found and technical support for optimal design of the structure is provided.

Key words: grinder; slide; ANSYS; static characteristics; dynamic characteristics

1 引言

端齿盘又称多齿盘、细齿盘、鼠牙盘、是具有自动定心功能的精密分度定位元件,广泛应用于加工中心、柔性单元、数控机床、组合机床、回转工作台、测量仪器、各种高精度间歇式圆周分度装置、多工位定位机构以及其它需要精密分度的各种设备上。端齿盘一般采用磨齿的方法加工,以获得较高的精度。本课题研发的QMK016高精度数控直齿端齿盘磨床是2011年国家"高档数控机床与基础制造装备"科技重大专项产品,用于磨削加工端齿盘。因此该机床的研发,对国内装备制造业水平的提高有着重要意义。笔者主要论述砂轮主轴支撑件滑座部分的结构改进方案,及其力学性能分析。

2 滑座的模块化结构设计

在现代化设计中 模块和知识的重用可大大缩短设计周期 降低设计成本;采用成熟的经过验证的模块,可降低采购和物流成本 缩短采购周期、物流周期和生产制造周期,从而加快产品上市时间;采用成熟的经过生产验证的模块,可大大减少由于新产品的投产对生产系统调整的频率,使新产品更容易生产制造,可降低生产制造成本;产品平台中及平台之间存在大量的互换模块,可以降低售后服务成本^[1]。

本机床滑座部分主要用来驱动砂轮主轴部件的往复直线运动,同时不能与其它部件发生运动干涉。为了加快设计研发过程,便于产品的加工制造。在企业内部模块库中选用了外部尺寸合适,行程范围满足要求,电机功率大小相符合的滑座模块单元。其结构如图 1 所示。由图可知,所选的滑座模块具有一维 A 轴旋转运动功能。而本机床滑座部件,不需要做旋转运动,所以在不影响运动功能,不改变各部分结合尺寸的情况下,对滑座骨架做出一些结构改动。改进后的结构如图 2 所示。

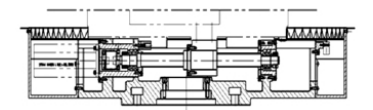


图 1 滑座模块单元

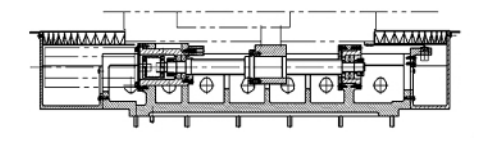


图 2 改进后滑座模块

3 滑座的受力分析

砂轮主轴在滑座上往复运动 其对砂轮主轴起着

^{*} 基金项目:2011 年国家"高档数控机床与基础制造装备"科技重大专项"高效、精密齿轮齿圈磨齿机"项目(2011ZX04003-031) 收稿日期:2012-11-27

作者简介:王 伟(1987-) ,男 ,陕西西安人 ,助理工程师 ,主要从事航天发动机相关方面的研究。

支撑作用 故其刚度的高低对机床加工精度的影响很 大。因此在满足模块化设计要求的同时 要合理设计 滑座结构,及其外壁和筋板的厚度,并在设计阶段分 析其动静刚度 提高设计效率 以缩短产品的研发周 期。滑座的三维实体模型如图 3 所示。滑座外壳体 壁厚为 20mm,内部筋板厚度为 15mm。磨削加工属 于高速的切削加工,每次的切削量较小,故磨削力相 对于结构部件的重量很小。在静力分析下 ,磨削力对 机床的变形影响很小,所以静力分析中可只考虑结构 在重力下的变形。滑座通过导轨面上的摩擦力支撑 着砂轮主轴部件 故它所受重力全部来自于砂轮主轴 部件。其结构如图 4 所示。砂轮部件的总重量为 330kg 其重心离导轨面的水平距离为 200mm ,滑座 上下两个导轨的面的距离为 330mm。由图可知重力 给滑座一个顺时针的扭矩; 对其上导轨面作用一个拉 力,对下导轨面作用一个压力,这两个力大小相等,方 向相反,但不在一条直线上,构成一对力偶。由力矩 的平移原理可知 重力的力矩平移到作用点后,可简 化为一个与原来大小相等,方向相同的力和一对力 偶; 因此 ,上下导轨面在受到拉压力的同时 ,还受到向 下的拉力。由力矩平衡原理可求得: 上下导轨面受到 的拉压力大小为 2000N; 导轨面的面积 为 0.03128 m², 故 导 轨 面 上 受 到 的 压 强 大 小 为 63938. 62Pa; 每个导轨结合面受到向下的拉力为 1650N。



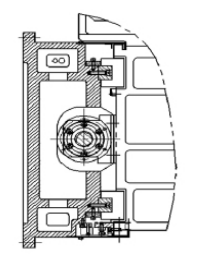


图 3 滑座的三维实体模型

图 4 滑座的侧视图

4 滑座结构的有限元分析

4.1 建立滑座的三维实体模型

在 ANSYS 有限元分析软件中建立结构的有限元模型一般有两种方法: ①直接使用分析软件建模; ②通过分析软件提供的接口,把专业 CAD 软件生成的三维实体模型转换为结构有限元模型。由于 ANSYS 分析软件提供的建模模块在建复杂结构模型时操作十分繁琐,而滑座的结构又相对复杂,故本分析采用 Solidworks 软件滑座的三维实体模型。CAD 模型是几何模型,要对它进行动、静力学模拟仿真计算,必须先将其转换为 CAE 模型^[2]。目前将专业 CAD 软件生成的三维实体模型转换为 CAE 模型时还存在很多

问题,许多复杂模型的直接传递会产生 CAE 模型无法生成的问题,因此必须对建立的结构 CAD 模型进行适当简化和修改。简化结构如图 3 所示。

4.2 建立底座的有限元模型

材料属性: 其材料为 HT250,弹性模量 E=1. 8E11N/m² ,泊松比 $\mu=0.3$,密度 $\rho=7000$ kg/m³。

网格划分:由于滑座结构为空间不规则几何体,故选用10 节点的 Solid92 块单元;采用自由网格划分 细化水平为4,节点数为184613 个,单元个数为102058 个。有限元模型如图 5 所示[3]。





图 5 滑座的有限元模型 图 6 滑座结构总变形等值线图

4.3 滑座的的静力学分析

- (1) 施加约束与载荷。滑座底面与立柱托板相连 在单独分析该零件时 假定滑座底面的位移不变 , 对其施加全约束 在导轨导轨结合面施加载荷。
- (2) 静力分析: 从节点结构总变形等值线图可看出 如图 6 所示。结构总变形 TranslationUSUM 值大部分区域为 0 ~ 0. 258 μm ,最大值为 0. 332 μm ,发生在滑座的上下导轨面的中间部分。为了不干涉砂轮主轴的往复运动 .故此处筋板结构刚度相对薄弱。但变形量远小于设计要求的 10 μm ,满足使用要求。

4.4 滑座的模态分析

模态分析是为了计算结构的固有振动特性,而固有特性是评价动力学特性的第一个指标。在磨削加工下,磨削主轴是高速旋转运动的。在工作情况下,对结构的动态性能有较高的要求。研究滑座的固有特性,是为了在设计阶段便可确定其固有属性,使其避开动力部分的激振频率。结构的振动特性一般由其低阶振动特性决定,故求其前五阶模态^[4]。

采用 Block Lanczos 法提取前 5 阶模态 其前 5 阶的固有频率特性如表 1 所列。其第一、二、三、四阶振型图如图 7 所示。

表 1 滑座前十阶固有频率及振型

/Hz

模态阶数	频率	振型
1	1289.2	滑座中间部分反向左右摆振
2	1936.0	绕 Z 轴在 XOZ 平面内二阶扭振
3	2231.9	滑座中间部分同向左右摆振
4	2469.8	绕 Z 轴在 YOZ 平面内二阶扭振
5	2566.8	沿 Z 轴方面二阶扭振

(下转第33页)

经过数据处理后得出十级涡轮的特性参数和特性曲线。然后根据涡轮机械相似理论将测量数据换算成一付涡轮的性能曲线。在清水介质下 /1 付涡轮的机械性能曲线如图 12 所示。

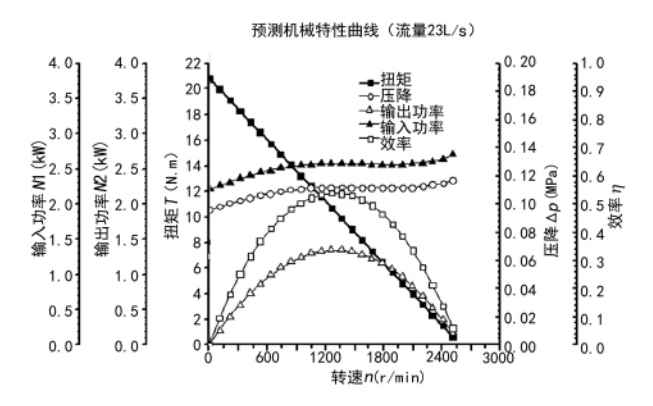


图 12 23L/S 时一付实测涡轮机械性能曲线 (涡轮径向间隙为 0.5mm)

5 结 论

根据涡轮机械一元流理论设计涡轮叶栅参数,叶片造型设计实现计算辅助设计,运用 CFD 软件对井下涡轮进行了全三维建模、流体动力数值模拟和涡轮力学性能预测。10 级涡轮力学性能台架试验表明,试验结果与 CFD 预测结果一致 满足设计参数要求。结论如下。

(1) 涡轮机械一元流理论同计算辅助叶片造型相结合 通过合理调整相关参数满足各种参数要求,

(上接第28页)

(1) 固有频率分析: 滑座的最低阶频率为 1289. 2Hz 砂轮主轴的最高转速为 3000r/min ,故滑座的最低阶频率远高于其附属旋转件的最高频率 50Hz。因此该底座符合结构稳定性原理。

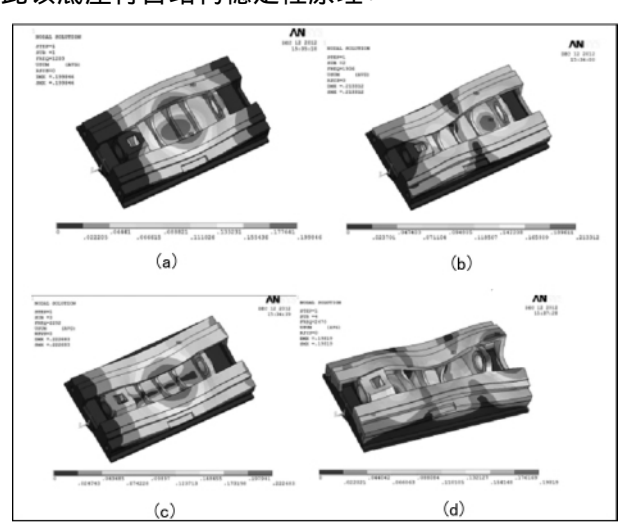


图 7 滑座振型图

可以实现理论设计的预期结果。

- (2) 涡轮力学特性的 CFD 模拟预测与试验结果对比表明, CFD 模拟预测结果正确,可为设计决策提供重要参考。
- (3) 涡轮径向间隙对涡轮效率有直接的影响 如何确定适当的涡轮径向间隙将是进一步研究的方向。

参考文献:

- [1] 谢存禧 涨 铁. 机器人技术及其应用[M]. 北京: 机械工业出版 社 2005
- [2] 苏义脑 窦修荣. 随钻测量、随钻测井与录井工具[J]. 石油钻采工艺 2005 27(1):74-78.
- [3] 刘新平 房 军 金有海. 随钻测井数据传输技术应用现状及展望[J]. 测量技术 2008 32(3):249-253.
- [4] 舒世甄 朱 力. 叶轮机械原理[M]. 北京: 清华大学出版社, 1991.
- [5] 柯别列夫. 航空发动机涡轮计算、气动计算及叶片造型[M]. 北京: 国防工业出社 1978.
- [6] Hamakhan I A ,Korakianitis T. Aerodynamic performance effects of leading edge geometry in gas turbine blades [J]. Applied energy , 2010 87(5):1591-1601.
- [7] 黄 萍,安利平. 基于 Bezier 曲线的新型叶片造型技术研究 [J]. 燃气涡轮试验与研究 2008 21(2):19-23.
- [8] Kor kiian itis T ,Pantazopoulos G I. Improved turbo blade design techniques using 4th parametric spline segments [J]. Computer sided design , 1993 , 25(5): 289-299.
- [9] 符达良,许福东,冯 进. 涡轮钻具四种涡轮叶型的台架试验 [J]. 石油机械,1994 22(1):16-22.

(2) 振型分析: 由表 1 和振型图可知,在各阶振型下滑座中间部分都有一定的相对位移,属于结构刚度的相对薄弱环节。但振动幅度不大,其固有频率又远高于最大激振频率。因此结构的动态特性满足使用要求。

5 结 论

- (1) 模块化的设计提高了工作的效率 縮短了新品的研发周期。
- (2) 分析了机床砂轮滑座的动静态特性 验证了结构的可靠性 ,为产品的生产制造提供了理论依据。

参考文献:

- Yan HS. A methodology for creative mechanism design [J]. Mechanism and machine theory 1992 27(3):235-242.
- [2] 尚晓江、邱 峰、赵海峰、等、ANSYS 结构有限元高级分析方法 与范例应用[M]、北京: 中国水利水电出版社 2008.
- [3] ANSYS Inc. ANSYS Elements Reference. Ninth Edition [M]. SAS, IP Inc-1997.
- [4] 袁松梅. 数控机床整机有限元分析 [J]. 机床与液压 2008(4): 17-18.